

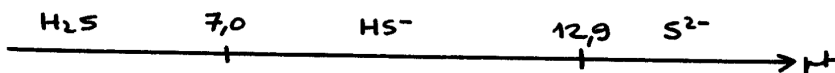
## Correction du DM 5

### Exercice 1 : Séparation de deux ions en solution

**Q.1** Les deux réactions de précipitation s'écrivent :



**Q.2** Les espèces sulfurées présentes en solution sont :  $\text{H}_2\text{S}_{(\text{aq})}$ ,  $\text{HS}_{(\text{aq})}^-$  et  $\text{S}_{(\text{aq})}^{2-}$ . Le diagramme de prédominance de ces espèces et le suivant :



**Q.3** Lorsque l'équilibre est tout juste atteint (premier grain de solide formé), on a

$$K_s(\text{ZnS}) = [\text{Zn}_{(\text{aq})}^{2+}]_{eq} \cdot [\text{S}_{(\text{aq})}^{2-}]_{eq}$$

Pour qu'il n'y ait pas de précipitation, la concentration en ions sulfures doit donc vérifier :

$$[\text{S}_{(\text{aq})}^{2-}] < [\text{S}_{(\text{aq})}^{2-}]_{max} = \frac{K_s(\text{ZnS})}{[\text{Zn}_{(\text{aq})}^{2+}]} = 10^{-19,8} \text{ mol} \cdot \text{L}^{-1}$$

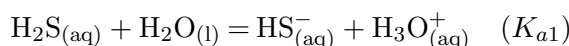
**Q.4** On cherche le pH correspondant à cette condition. On sait que la concentration en sulfure de dihydrogène est constante et que :

$$pH = pK_{a1} + \log\left(\frac{[\text{HS}^-]}{[\text{H}_2\text{S}]}\right) \quad \text{et que} \quad pH = pK_{a2} + \log\left(\frac{[\text{S}^{2-}]}{[\text{HS}^-]}\right)$$

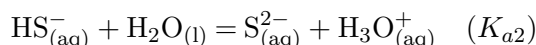
Donc en sommant ces deux équations :  $pH = \frac{pK_{a1} + pK_{a2}}{2} + \frac{1}{2} \log\left(\frac{[\text{S}^{2-}]}{[\text{H}_2\text{S}]}\right) < 0,55$

**Q.5** Le même raisonnement conduit pour le sulfure de cuivre à la condition  $pH < -5,2$  pour ne pas observer la précipitation de ce solide. On en déduit que si le pH vaut 0,5, le sulfure de cuivre précipite mais pas le sulfure de zinc : la séparation est possible.

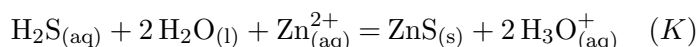
**Q.6** En milieu acide, l'espèce sulfurée prédominante est le sulfure de dihydrogène  $\text{H}_2\text{S}$ . Avant de pouvoir former le précipité, il faut former les ions sulfures, avec les deux réactions acide-base suivantes :



puis



En sommant ces deux réactions et la réaction de précipitation, on obtient la réaction de formation du sulfure de zinc à partir du sulfure de dihydrogène :



de constante  $K = \frac{K_{a1} \cdot K_{a2}}{K_s(\text{ZnS})} = 10^{3,9}$ .

**Q.7** À l'équilibre, on a :  $K = Q_r = \frac{[H3O_{(aq)}^+]^2}{[Zn_{(aq)}^{2+}] \cdot [H2S_{(aq)}]}$ , soit :

$$pH = -\log[H3O_{(aq)}^+] = \frac{1}{2} (pK_{a1} + pK_{a2} - pK_s(\text{ZnS}) - \log[Zn_{(aq)}^{2+}] - \log[H2S_{(aq)}]) = 0,55$$

On retrouve donc bien la même condition pour la précipitation de ce solide.

## Exercice 2 : Potentiel de Yukawa

**Q.1**  $q$  est une charge est s'exprime donc en Coulomb.  $a$  est en mètre pour l'homogénéité dans l'exponentielle.

**Q.2** L'énoncé indique que le problème est à symétrie sphérique, donc le champ ne dépend pas des angles  $\theta$  et  $\varphi$ . De plus, pour tout point  $M$ , tout plan contenant  $M$  et  $O$  est un plan de symétrie, donc contient le champ électrostatique. Ce champ est par conséquent radial et s'écrit ici :  $\vec{E}(M) = E_r(r)\vec{u}_r$ . Ce champ est alors donné par :

$$E_r(r)\vec{u}_r = -\vec{\text{grad}}V(r) = -\frac{dV(r)}{dr}\vec{u}_r = \frac{q}{4\pi\epsilon_0 r^2} \left(1 + \frac{r}{a}\right) \exp\left(-\frac{r}{a}\right) \vec{u}_r$$

**Q.3** Si  $r \ll a$ , on peut assimiler l'exponentielle à l'unité et alors  $\vec{E}(r) \approx \frac{q}{4\pi\epsilon_0 r^2} \vec{u}_r$ .

Si  $r \gg a$ , alors  $\vec{E}(r) \approx \frac{q}{4\pi\epsilon_0 ar} \exp\left(-\frac{r}{a}\right) \vec{u}_r$ .

**Q.4** On applique le théorème de Gauss à une sphère de rayon  $r$  centrée en  $O$  :

$$\oiint \vec{E}(r) \cdot d\vec{S} = 4\pi r^2 E_r(r) = \frac{Q(r)}{\epsilon_0}$$

D'où on déduit :  $Q(r) = q \left(1 + \frac{r}{a}\right) \exp\left(-\frac{r}{a}\right)$ .

Si  $r \ll a$ , on peut assimiler l'exponentielle à l'unité et alors  $Q(r) \approx q$ .

Si  $r \gg a$ , alors  $Q(r) \approx q \frac{r}{a} \exp\left(-\frac{r}{a}\right) \rightarrow 0$ .

Ces résultats semblent indiquer qu'il existe une charge ponctuelle au centre de la distribution et que la charge totale (vue depuis l'infini) est nulle.

**Q.5** Par définition de la charge volumique  $\rho(r)$ , la charge  $dq(r)$  de la coquille sphérique vaut

$$dq(r) = 4\pi\rho(r)r^2 dr = Q(r+dr) - Q(r)$$

soit à la limite infinitésimale :  $\rho(r) = \frac{1}{4\pi r^2} \frac{dQ}{dr} = -\frac{q}{4\pi a^2 r} \exp\left(-\frac{r}{a}\right)$ .

**Q.6** Pour déterminer la charge totale diffuse, il est possible d'intégrer la charge volumique  $\rho(r)$  dans tout l'espace :

$$Q_{diff} = \int_{r=0}^{\infty} \int_{\theta=0}^{\pi} \int_{\varphi=0}^{2\pi} \rho(r)r^2 \sin\theta dr d\theta d\varphi$$

... où bien remarquer que la charge totale de la distribution est nulle, donc  $Q_{diff} = -q$ .

### Exercice 3 : Espace entre deux plans

**Q.1** Le problème est invariant par toute translation selon les axes  $(Ox)$  et  $(Oy)$ , donc les champs ne dépendent pas des coordonnées  $x$  ni  $y$ .

**Champ électrostatique** : Pour tout point  $M$ , tout plan contenant  $M$  et le vecteur  $\vec{u}_z$  est plan de symétrie de la distribution de charges, donc contient le champ électrostatique. On en déduit que ce champ n'a de composante non nulle que suivant  $(Oz)$  :  $\vec{E}(M) = E_z(z)\vec{u}_z$ .

**Champ magnétostatique** : Pour tout point  $M$ , le plan contenant  $M$  ainsi que les vecteurs  $\vec{u}_z$  et  $\vec{u}_x$  est plan de symétrie de la distribution de courants : le champ magnétostatique lui est orthogonal en  $M$ , donc suivant  $\vec{u}_y$  :  $\vec{B}(M) = B_y(z)\vec{u}_y$ .

**Q.2** Le plan  $z = 0$  est un plan de symétrie de la distribution de charges et de courants. La champ électrostatique appartient donc à ce plan et le champ magnétostatique lui est orthogonal. D'après la question précédente, ces deux champs sont donc nuls en  $z = 0$ .

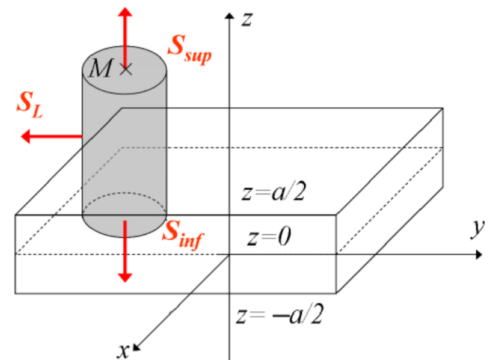
**Q.3** On applique les théorèmes de Gauss et d'Ampère pour déterminer les champs électrostatique et magnétostatique.

**Champ électrostatique** : Le théorème de Gauss appliqué à un cylindre d'axe parallèle à  $(Oz)$ , de rayon  $r$  et dont le plan inférieur se trouve en  $z = 0$  et le plan supérieur passe par  $M(z)$  donne :

$$\begin{aligned}\Phi_E &= \oiint \vec{E} \cdot d\vec{S} \\ &= \iint_{S_L} \vec{E} \cdot d\vec{S} + \iint_{S_{inf}} \vec{E} \cdot d\vec{S} + \iint_{S_{sup}} \vec{E} \cdot d\vec{S} \\ &= \iint_{S_{sup}} \vec{E} \cdot d\vec{S} \\ &= \pi r^2 E_z(z) = \frac{Q_{int}}{\epsilon_0}\end{aligned}$$

Avec :  $Q_{int} = \begin{cases} \pi r^2 \frac{a}{2} \rho & \text{si } z > a/2 \\ \pi r^2 z \rho & \text{si } z < a/2 \end{cases}$ . On en déduit que pour  $z > 0$  :

$$\vec{E}(M) = \begin{cases} \frac{\rho a}{2\epsilon_0} \vec{u}_z & \text{si } z > \frac{a}{2} \\ \frac{\rho z}{\epsilon_0} \vec{u}_z & \text{si } z < \frac{a}{2} \end{cases}$$

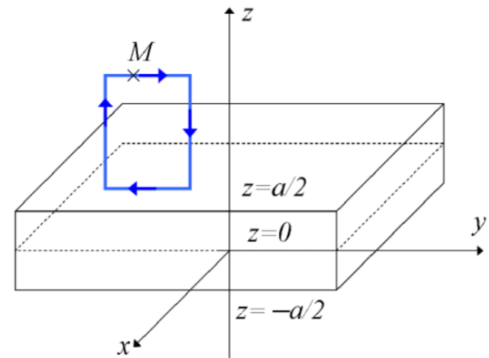


**Champ magnétostatique** : Le théorème d'Ampère appliqué à un contour carré d'axe porté par  $(Ox)$ , de côté  $L$  et dont le bas se situe  $z = 0$  et le haut passe par  $M(z)$  donne :

$$\mathcal{C}_B = \oint \vec{B} \cdot d\vec{l} = LB_y(z) = \mu_0 I_{enlace}$$

Avec :  $I_{enlace} = \begin{cases} -jL \frac{a}{2} & \text{si } z > a/2 \\ -jLz & \text{si } z < a/2 \end{cases}$ , soit pour  $z > 0$  :

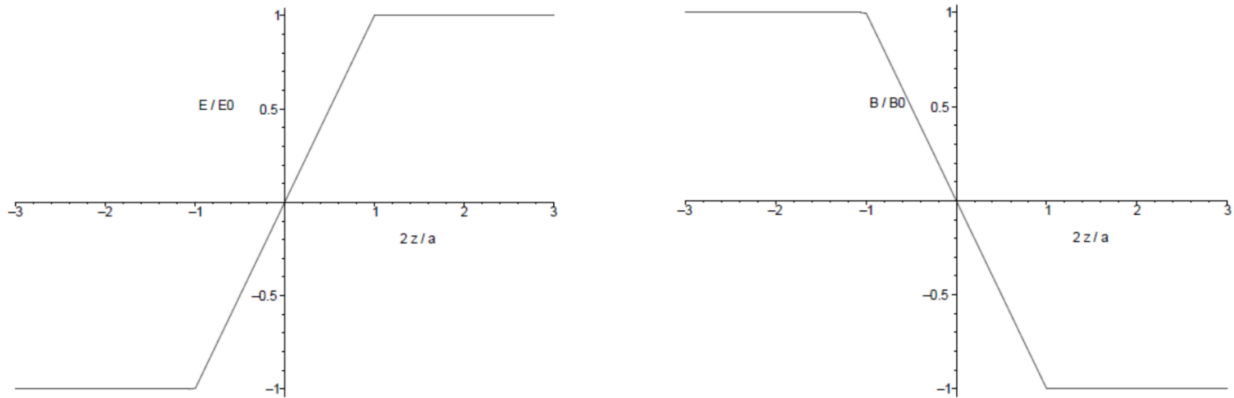
$$\vec{B}(M) = \begin{cases} -\mu_0 j \frac{a}{2} \vec{u}_y & \text{si } z > \frac{a}{2} \\ -\mu_0 j z \vec{u}_y & \text{si } z < \frac{a}{2} \end{cases}$$



**Q.4** Le principe est exactement le même pour la partie  $z < 0$ . Il est aussi possible d'utiliser les symétries : comme le plan  $z = 0$  est un plan de symétrie des distributions de charges et de courants, les champs électrostatique et magnétostatique sont respectivement symétrique et antisymétrique par rapport à ce plan. On a donc pour  $z < 0$  :

$$\vec{E}(M) = \begin{cases} -\frac{\rho a}{2\varepsilon_0} \vec{u}_z & \text{si } |z| > \frac{a}{2} \\ \frac{\rho z}{\varepsilon_0} \vec{u}_z & \text{si } |z| < \frac{a}{2} \end{cases} \quad \text{et} \quad \vec{B}(M) = \begin{cases} \mu_0 j \frac{a}{2} \vec{u}_y & \text{si } |z| > \frac{a}{2} \\ -\mu_0 j z \vec{u}_y & \text{si } |z| < \frac{a}{2} \end{cases}$$

**Q.5** Tracé des composantes  $E_z$  (gauche) et  $B_y$  (droite) :



**Q.6** Dans ce modèle, on adopte une représentation surfacique des charges et des courants. La densité surfacique de charges s'écrit  $\sigma = a\rho$  et la densité surfacique de courant s'écrit  $j_s = aj$ . Pour  $z > 0$ , les champs deviennent donc :

$$\vec{E}(M) = \frac{\sigma}{2\varepsilon_0} \vec{u}_z \quad \text{et} \quad \vec{B}(M) = -\mu_0 \frac{j_s}{2} \vec{u}_y$$

**Q.7** Toujours par symétrie par rapport au plan  $z = 0$ , on obtient les expressions de ces champs dans la région  $z < 0$  :

$$\vec{E}(M) = -\frac{\sigma}{2\varepsilon_0} \vec{u}_z \quad \text{et} \quad \vec{B}(M) = \mu_0 \frac{j_s}{2} \vec{u}_y$$

Par conséquent, la discontinuité (différence entre le champ juste au dessus du plan et celui juste en dessous) vaut :

$$\vec{E}(0^+) - \vec{E}(0^-) = \frac{\sigma}{\varepsilon_0} \vec{u}_z \quad \text{et} \quad \vec{B}(0^+) - \vec{B}(0^-) = -\mu_0 j_s \vec{u}_y$$

**Remarque** : Cette conclusion se généralise et devient une propriété importante concernant les champs électrique et magnétique (pas uniquement en statique). Dans un cadre général, on considère une surface séparant deux milieux 1 et 2. En notant  $\vec{n}_{12}$  le vecteur normal à la surface et orienté du milieu 1 vers le milieu 2, la discontinuité des champs au passage de cette surface s'écrit :

$$\vec{E}_2(0^+) - \vec{E}_1(0^-) = \frac{\sigma}{\varepsilon_0} \vec{n}_{12} \quad \text{et} \quad \vec{B}_2(0^+) - \vec{B}_1(0^-) = \mu_0 \vec{j}_s \wedge \vec{n}_{12}$$

Ces deux relations sont appelées relations de passage du champ électromagnétique. Il fut un temps (que les moins de 25 ans ne peuvent pas connaître) où elles étaient à apprendre !